



2.  $D(q)-2E(q, \dot{q})$ 는 skew-symmetric 행렬이다[4].

$$3. \|c_p(q)\|_2 \leq n^{1/2}[m_p g (\|r_p\|_2 + l)] \quad (9)$$

이다. 단,  $g$ 는 중력가속도 상수(9.8062 m/sec<sup>2</sup>)이고,  $l = \sum_{i=1}^n \|p_i\|_2$ ,  $p_i$ 는 각 link의 위치 vector이다. ( $\|\cdot\|_2$ 는 Euclidean norm이다.) (3)으로 주어지는 로봇트에 대하여 다음과 같은 비선형 피드백을 생각하자. (그림 1)

$$\tau(t) = a^{-1}D_0(q)u(t) + [c_0(q) - a^{-1}D_0(q)\dot{q}] \quad (10)$$

$$u(t) = H(v(t)) \quad (11)$$

단,  $\bar{H} := L\{H\}$  는

$$\bar{H}(s) = \frac{1+\tau s}{s+a} \quad (a>0, \tau>0, a\tau<1) \quad (12)$$

로 주어지며, 따라서

$$H(v(t)) = \tau v(t) + (1-\tau a) \int_0^t e^{-a(t-\sigma)} v(\sigma) d\sigma \quad (13)$$

이다. 그러면, (10)의 새로운 입력  $v$ 와  $q, \dot{q}$  간의 관계식은

$$D(q)\ddot{q} + h(q, \dot{q}) + c_p(q) = a^{-1}D_0(q)H(v(t)) - a^{-1}D_0(q)\dot{q} \quad (14)$$

또는,

$$D(q)\ddot{q} + [E(q, \dot{q}) + a^{-1}D_0(q)]\dot{q} = a^{-1}D_0(q)H(v(t)) - c_p(q) \quad (15)$$

이다. 부하에 대한 inertial parameter  $m_p$ 와  $r_p$ 에 대한 범위가 주어지면,  $c_p(q)$ 의 크기는  $q$ 에 관계없이 유한하다.(Note 3.)

(5)의 우변을 0으로 하여 (homogeneous equation) 안정도를 살펴보면 다음과 같다. 우선, Lyapunov 함수를 로봇트의 운동에너지  $V := 1/2\dot{q}^T D(q)\dot{q}$  로 정의하자.  $D(q)$ 가 대칭행렬이므로,

$$\dot{V} = \dot{q}^T D(q)\ddot{q} + 1/2\dot{q}^T \dot{D}(q)\dot{q}. \quad (16)$$

$$D(q)\ddot{q} = - [E(q, \dot{q}) + a^{-1}D_0(q)]\dot{q} \quad (17)$$

이므로,

$$\begin{aligned} \dot{V} &= - \dot{q}^T [E(q, \dot{q}) + a^{-1}D_0(q)]\dot{q} + 1/2\dot{q}^T \dot{D}(q)\dot{q} \\ &= - a^{-1}\dot{q}^T D_0(q)\dot{q} + 1/2\dot{q}^T [\dot{D}(q) - 2E(q, \dot{q})]\dot{q}. \end{aligned} \quad (18)$$

$D_0(q)$ 는 positive-definite,  $D(q)-2E(q, \dot{q})$ 는 skew-symmetric이고 (Note 2.),  $a>0$  이므로,

$$\dot{V} = - a^{-1}\dot{q}^T D_0(q)\dot{q} < 0. \quad (19)$$

이것은, 제시한 비선형 피드백에 의해 원래 로봇트가 가지는 운동에너지가 감소하며,  $a$ 의 크기를 작게 하므로써 로봇트의 운동 에너지를 빠르게 감소시킬 수 있음을 보여준다.

### 3. 시뮬레이션

위에서 제시한 보상방법의 성능을 평가하기 위하여, 그림 2와 같이 비선형 피드백을 구성하였다.

$$v(t) = r(t) - K_p q(t) - K_v \dot{q}(t), \quad (20)$$

$$r(t) = \ddot{q}_d(t) + K_v \dot{q}_d(t) + K_p q_d(t). \quad (21)$$

대상 로봇트는 PUMA 560의 3개의 축(4,5,6축은 정지한 것으로 함)으로 하였고[5,6], 4-3-4의 케도에 의해 각 축이 1초 동안 90°씩 움직이게 하였다. ( $q_d(0)=[0^\circ, 45^\circ, 45^\circ]^T$ ,  $q_d(1)=[90^\circ, -45^\circ, 135^\circ]^T$ ) 6번째축에 미지의 부하(5kg의 집질량)를 부가하고, computed torque 방법과 비교하기 위하여  $K_p=400I$ ,  $K_v=40I$ 로 하여 실험하였다. (computed torque 제어방법에서는 이러한 피드백 상수에 의해 특성방정식의 근이 중근 -20을 갖게 된다.) 그림 2에서의 saturator는, 1단계 보상한 시스템의 입력력을 제한함으로써 앞절의 결과에 의하여 시스템의 안정도를 보장하여 준다. (본 시뮬레이션에서는 이 saturator를 사용하지 않았으며, 불안정한 현상도 나타나지 않았다.)

또한, 위상지연 제어기의 계수  $a, \tau$ 는 다음과 같이 정한다. 식(4)로 부터

$$\begin{aligned} a^{-1}[H(v(t)) - \dot{q}(t)] \\ = D_0^{-1}(q)[D(q)\ddot{q} + h(q, \dot{q}) + c_p(q)]. \end{aligned} \quad (22)$$

이식의 우변은,  $q, \dot{q}, \ddot{q}$ 가 모두 유한하다고 가정하면, 유한한 외란 신호  $w(t)$ 로 생각할 수 있다. 즉,

$$H(v(t)) - \dot{q}(t) = a w(t), \quad (23)$$

$$w(t) = D_0^{-1}(q)[D(q)\ddot{q} + h(q, \dot{q}) + c_p(q)], \quad (24)$$

또는,

$$\bar{H}(s)\bar{w}(s) - s\bar{q}(s) = a\bar{w}(s). \quad (25)$$

$$\begin{aligned} \bar{v}(s) &= \bar{r}(s) - (sK_v + K_p)\bar{q}(s) \\ &= s^2\bar{q}_d(s) + (sK_v + K_p)\bar{e}(s), \end{aligned} \quad (26)$$

$$\bar{e}(s) = \bar{q}_d(s) - \bar{q}(s) \quad (27)$$

이다. 그러므로 (25)는

$$\bar{H}(s)[s^2\bar{q}_d(s) + (sK_v + K_p)\bar{e}(s)] - s\bar{q}(s) = a\bar{w}(s). \quad (28)$$

여기서,  $a \ll 1, \tau \ll 1$  인 양수로 선택하면,

$$[s^2\bar{q}_d(s) - \bar{H}^{-1}(s)s\bar{q}(s)] \approx s^2\bar{e}(s) \quad (29)$$

이므로, (28)은

$$(s^2I + sK_v + K_p)\bar{q}(s) \approx a\bar{H}^{-1}(s)\bar{w}(s) \quad (30)$$

로 되어, 외란이 아주 작은 경우의 computed-torque 방법으로 접근함을 알 수 있다.

그림 3,4는 각각 무부하시의 computed-torque (CT) 방법과 본 논문에서 제시한 위상지연 제어(LAG) 방법에 의한 각축의 위치오차를 나타내며, 두 방법 모두 만족할 만한 결과를 얻을 수 있다. 그러나, 5kg의 집질량을 부가한 경우, 그림 5,6에서 나타난 바와 같이 LAG 방법의 위치오차가 CT 방법에 비해 약 1/10 정도로 현저하게 줄어들음을 알 수 있다. 또한, 그림 7은 LAG 방법의 위상지연 제어기 계수  $a$ 를 작게 하면, 위치오차도 거의 비례하여 작게되는 것을 보여준다.

4. 결론

본 논문에서는, 미지의 부하에 따른 로봇의 운동특성변화를 위상지연보상기에 의해 크게 줄일 수 있는 제어방법에 관하여 논하였다. 이 제어방법은 가속도 또는 토크 센서등이 필요하지 않고 계산량이 많지 않기 때문에 매니퓰레이터의 실시간 제어용으로 적당할 것으로 생각된다. 시뮬레이션 결과에 의하면, 미지의 부하가 있는 경우에도 위치오차를 크게 줄일 수 있음을 알 수 있다. 그러나, 여기에서 논하지 못한 전체적인 안정도의 증명과 보상의 일반화 및 설계기법 등은 앞으로 연구가 더 수행되어야 할 것이다.

참고문헌

- [1] J.K. Mills and A.A. Goldenberg, "A new robust robot controller," Proc. IEEE Int. Conf. on Robotics and Automation, 1986, pp.740-745.
- [2] V.D. Tourassis and C.D. Neuman, "Robust nonlinear feedback control for robotic manipulators," IEE Proc., vol.132, pt.D, No.4, July 1985, pp.134-143.
- [3] K.P. Valavanis et al., "Real-time evaluation of robotic control method," Proc. IEEE Int. Conf. on Robotics and Automation, 1985, pp.644-649.
- [4] H. Asada and J.-J. E. Slotine, *Robot analysis and control*, John Wiley and Sons, 1986.
- [5] T.J. Tarn et al., "Inertia parameters of PUMA 560 robot arm," Robotics Lab., Report SSM-RL-85-01, Washington Univ., St. Louis, MO, July 1985.
- [6] T.J. Tarn et al., "Dynamic Equations for PUMA 560 robot arm," Robotics Lab., Report SSM-RL-85-02, Washington Univ., St. Louis, MO, July 1985.

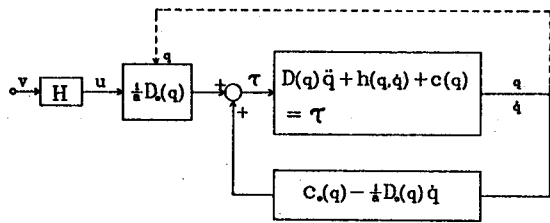


그림 1. 비선형회덕일과 위상지연을 사용한 1단계 보상

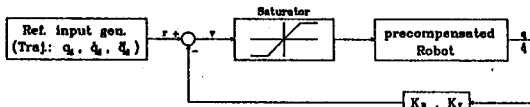


그림 2. 궤도 추적을 위한 PD제어

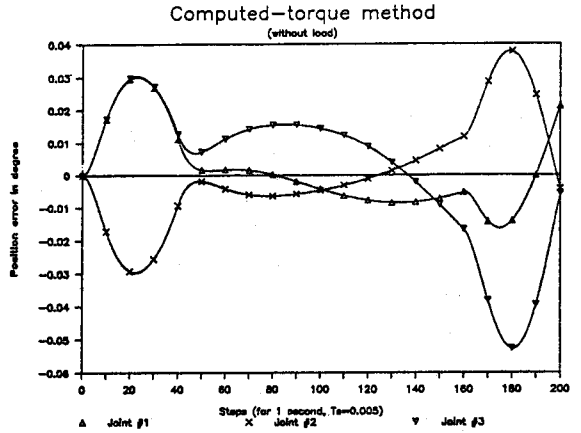


그림 3. 무부하시의 computed-torque 방법

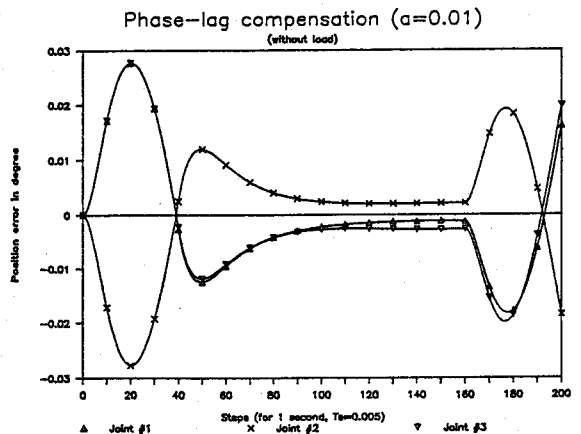


그림 4. 무부하시의 위상지연제어 방법

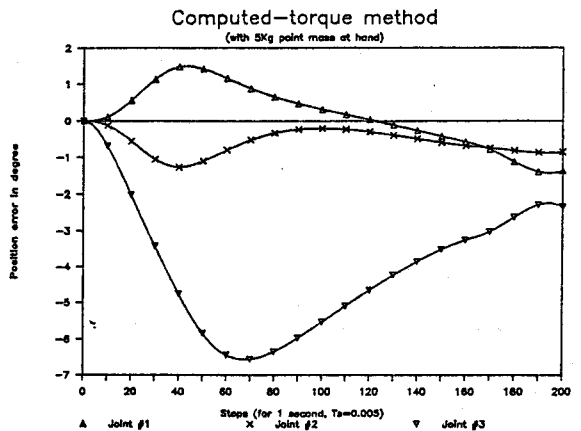


그림 5. 5kg 점질량 부하시의 computed-torque 방법

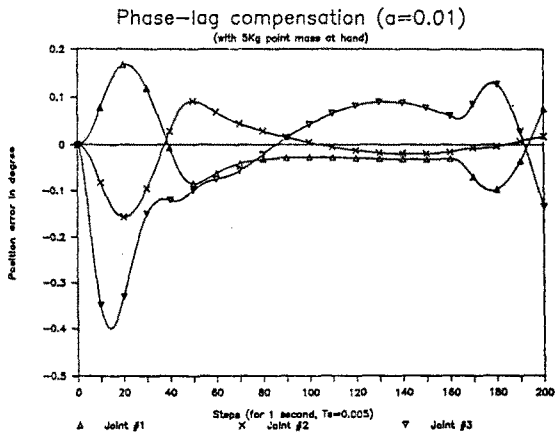


그림 6. 5kg 점질량 부하시의 위상지연제어 방법 ( $\alpha=0.01$ )

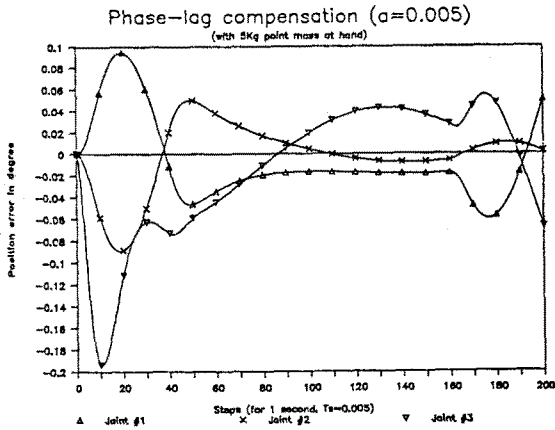


그림 7. 5kg 점질량 부하시의 위상지연제어 방법 ( $\alpha=0.005$ )